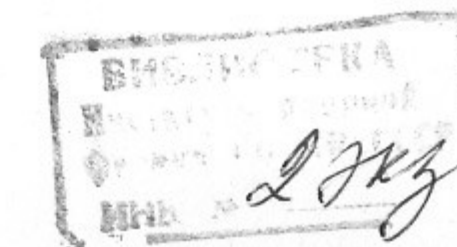




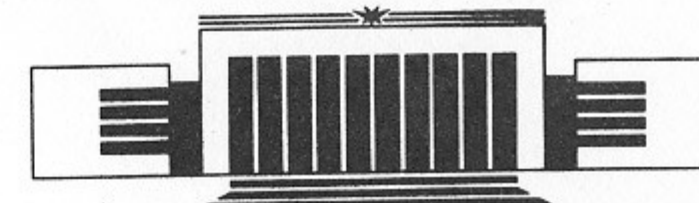
К.12

Государственный научный центр
Российской Федерации
Институт ядерной физики
им. Г.И. Будкера СО РАН

Кадомцев А.А. идр.
ПОЛУЧЕНИЕ ГОРЯЧЕЙ ПЛАЗМЫ
В КВАЗИСТАЦИОНАРНОМ ДУГОВОМ
РАЗРЯДЕ



ИЯФ 95-1



НОВОСИБИРСК

Получение горячей плазмы в квазистационарном дуговом разряде

А.А.Кабанцев, В.Б.Рева, В.Г.Соколов

Государственный научный центр

Российской Федерации

Институт ядерной физики им. Г.И. Будкера СО РАН
630090, Новосибирск, Россия

Аннотация

Приведены результаты исследований по повышению температуры и энергосодержания в плазменной струе из газоразрядного источника. В результате выполненной на базе этих исследований оптимизации режима работы источника получена струя высокотемпературной плазмы с $T_e \simeq 30 \div 50$ эВ, $T_i \simeq 200$ эВ при плотности $n \simeq 5 \cdot 10^{13}$ см⁻³ и удельной мощности потока $p \simeq 10$ кВт/см², а также показана реальная возможность дальнейшего увеличения указанных параметров.

Quasi-Steady ARC-Discharge Source of High Temperature Plasma Flows

A. A. Kabantsev, V. G. Sokolov, V. B. Reva

Budker Institute of Nuclear Physics
630090, Novosibirsk, Russia

Abstract

The hot plasma sources generating quasi-steady large-diameter flows of working substances with specific power of some tens kW/cm^2 and ion energy of some hundreds eV are of great interest for various material science and technology applications. This paper presents the basic design of such plasma source and some results of experimental researches of its electric characteristics and obtained plasma parameters. In consequence of some optimization of operating mode the flow of high-temperature plasma with $T_e \approx 30 \div 50 \text{ eV}$, $T_i \approx 200 \text{ eV}$ and density $n \approx 5 \cdot 10^{13} \text{ cm}^{-3}$ was obtained.

©ГНЦ РФ Институт ядерной физики им. Г.И. Будкера СО РАН

Введение

Источники горячей плазмы, способные генерировать квазистационарные потоки рабочего вещества с удельными мощностями в десятки кВт/см² при температуре ионов несколько сотен эВ, представляют большой интерес для различных задач научного и прикладного характера. В первую очередь, плазменные потоки с такими параметрами способны найти применение в термоядерных исследованиях, например, для заполнения горячей плотной плазмой открытых магнитных ловушек, или для моделирования процессов на первой стенке термоядерного реактора. Кроме того, в случае обладания широкими возможностями в выборе рабочего вещества, подобные источники могут быть эффективно использованы в разнообразных технологических приложениях.

В данной работе приведены результаты исследований по повышению температуры и энергосодержания в плазменной струе из газоразрядного источника, используемого для заполнения предварительной плазмой открытой ловушки. В результате проведенной на базе этих исследований оптимизации режима работы источника получена струя высокотемпературной плазмы с $T_e \approx 30 \div 50$ эВ, $T_i \approx 200$ эВ при плотности $n \approx 5 \cdot 10^{13}$ см⁻³ и удельной мощности потока $p \approx 10$ кВт/см², а также показана реальная возможность дальнейшего увеличения указанных параметров.

Физические процессы в источнике плазмы

Эксперименты велись с *квазистационарным* дуговым источником плазмы, обладающим кольцевой геометрией разрядного канала (*рис.1*) и помещённым во внешнее продольное магнитное поле. Под *квазистационарным* здесь понимается режим работы при котором все плазменные процессы в источнике имеют установившийся характер. Тепловая же

нагрузка на конструкцию источника при этом может быть далека от стационара. Электропитание источника осуществлялось от многозвенной *LC*-линии с волновым сопротивлением 0.1 Ом и длительностью до 1.5 мс. Источник коаксиально помещался в импульсный соленоид с магнитным полем до 5 кГс.

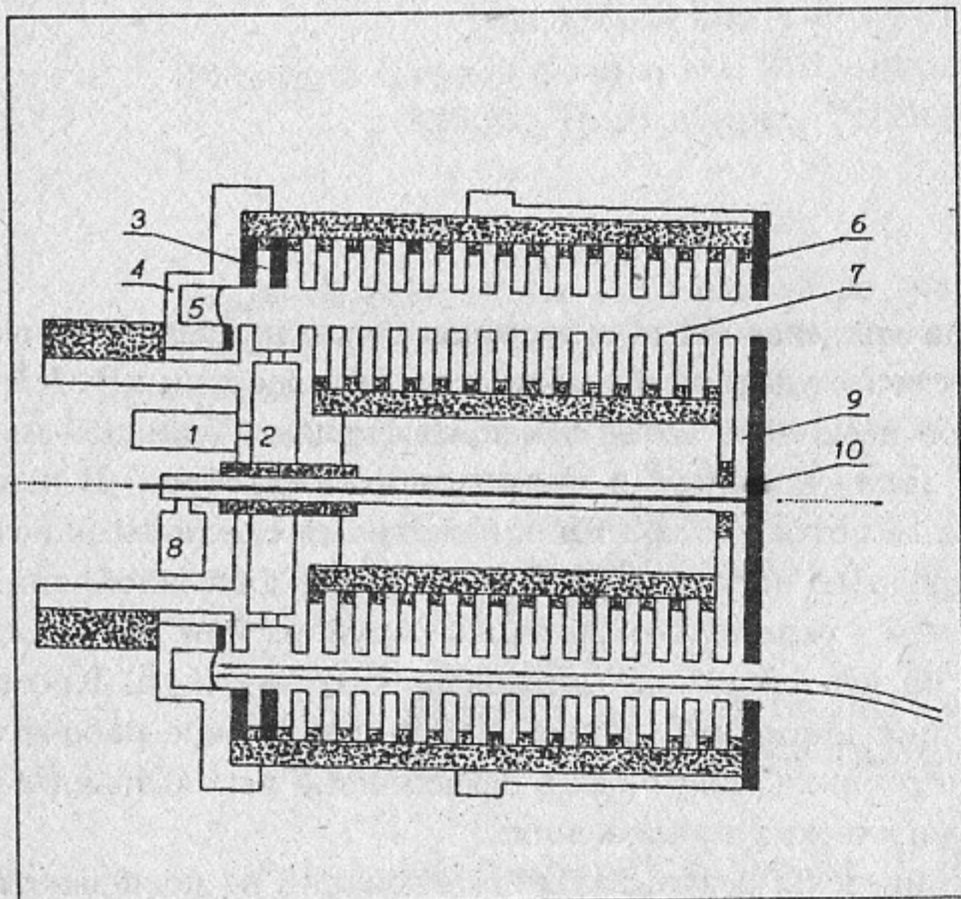


Рис. 1: Схема кольцевой плазменной пушки.

Газоразрядная кольцевая плазменная пушка: 1—катодный импульсный клапан; 2—вспомогательный катод; 3—вспомогательный анод; 4—катод; 5—алюминиевая вставка; 6—анодная шайба; 7—изолированные шайбы; 8—анодный импульсный клапан; 9—газовая полость; 10—плавающий электрод.

Исследование работы такого источника и параметров генерируемой им плазмы в случае прямой полярности напряжения на разряде было изложено в [1, 2, 3]. Прямая полярность напряжения — это когда электрическое поле внутри источника ускоряет электроны в направлении инжеции. Плазменная струя из источника транспортировалась вдоль магнитного плазмовода со степенью гофрировки ≈ 2 и длиной до 3 м к регистрирующим устройствам и далее к плазмоприёмнику, находящемуся в магнитном расширителе. Было показано, что в этом режиме аномально вы-

сокая температура ионов [3] ($T_i \simeq 50$ эВ $\gg T_e \simeq 10$ эВ) в плазменной струе объясняется их стохастическим нагревом при развитии неустойчивости Кельвина–Гельмгольца, связанной с неоднородным $E_r \times B_z$ вращением плазменного столба в скрещенных полях [2]. Величина шири радиального электрического поля, выносимого вследствие замагниченности электронного компонента в плазменную струю из источника токами выноса [4], достигающими $20 \div 30\%$ от разрядного тока, определяется мощным приступальным скачком потенциала, возникающим в силу его (анода) магнитной изоляции. Неустойчивость Кельвина–Гельмгольца, аномально увеличивая поперечную электропроводность плазмы, стремится выровнять радиальный профиль скорости вращения плазменного столба, переводя часть кинетической энергии вращающихся "слоёв" при их перемешивании в тепловую энергию ионного компонента. Мощность такого нагрева квадратично растет с ростом шири радиального поля, так что легко достижимое увеличение анодного падения U_a в $2 \div 3$ раза по сравнению со штатным режимом работы источника ($U_a \simeq 200$ В) способно было бы привести к повышению T_i в плазменной струе до нескольких сотен эВ. При этом, однако, электронная компонента вследствие высокой продольной теплопроводности на источник плазмы фактически оказывается термостатированной на уровне потенциала ионизации, и мощность, теряемая горячими ионами на значительно более холодных электронах, становится неприемлемо велика.

Возможный подход к решению этой проблемы заключается в создании между протяженной частью плазменной струи и источником потенциального барьера для электронов, значительно снижающего прямой теплообмен электронов плазменного столба с источником. Подобный подход, в частности, был реализован на установке "АМБАЛ-Ю" [5, 6, 7], где потенциальный барьер с характерным продольным размером, меньшим длины свободного пробега электронов, создавался при прохождении плазменной струи из этого же источника, обеспечивающего накачку энергии из неустойчивости Кельвина–Гельмгольца в поперечные степени свободы ионной компоненты, через магнитную пробку, обладающую большим продольным градиентом магнитного поля. К сожалению, при этом большая часть потока плазмы отражалась от магнитной пробки, так что подобный сценарий, годный для заполнения предварительной плазмой открытой ловушки, оказывается бесперспективен для технологических приложений, где требуются большие удельные мощности.

Постановка и результаты экспериментов

Однако можно попытаться создать подобный потенциальный барьер, разделяющий электроны в источнике и плазменной струе, и непосредственно электростатическим методом, изменив привычное для плазменных ускорителей расположение электродов ($4 \leftrightarrow 6$, рис.1), т. е. полярность напряжения на разряде. При этом внутренний выходной электрод источника плазмы 10, находящийся под плавающим потенциалом, также оказывается отрицательно смещённым относительно нового анода 4. (Здесь важно отличать такой разряд с обратной полярностью от обращения в плазменной струе знака только радиального электрического поля E_r , достигаемого изменением радиального положения анода относительно оси разрядного канала ($6 \leftrightarrow 10$, рис.1), и приводящего к подавлению неустойчивости Кельвина–Гельмгольца [8].)

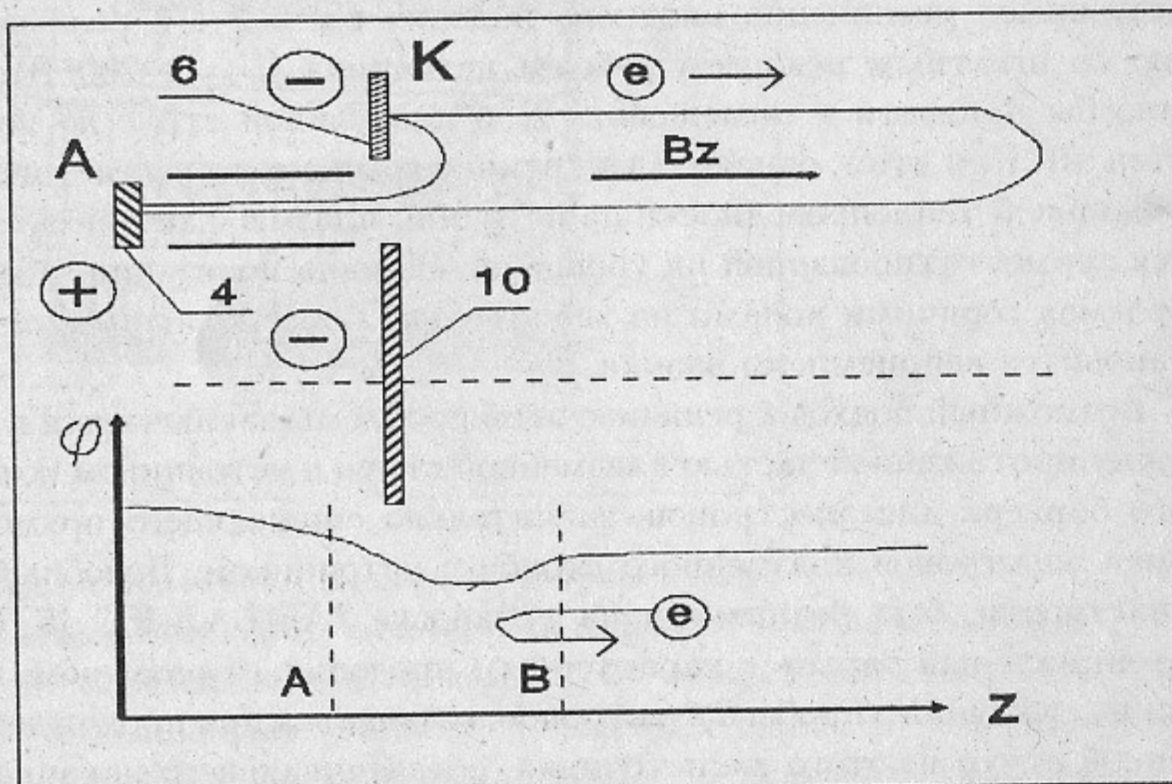


Рис. 2: Схема создания электростатического барьера в плазменной струе.

В этом случае в силу наличия в дуговом разряде прикатодной области пространственного заряда и амбиполярного потенциала квазинейтрального плазменного столба, аксиальное распределение потенциала плазмы должно иметь вид, показанный на рис.2. А поскольку протяженность области пространственного заряда AB меньше длины свободного пробега электронов [9], то на выходе из источника (вблизи отрицательного электрода) действительно возможно образование электростатического

потенциального барьера, уменьшающего продольную электронную теплопроводность плазмы. И, хотя при этом возникают некоторые осложнения, связанные с возможным срывом газового разряда в дугу в парах металла и контракцией токов выноса внутрь источника, тем не менее, при вполне определенной подготовке разрядного канала они оказываются преодолимы, и разряд действительно переходит в качественно новую форму.

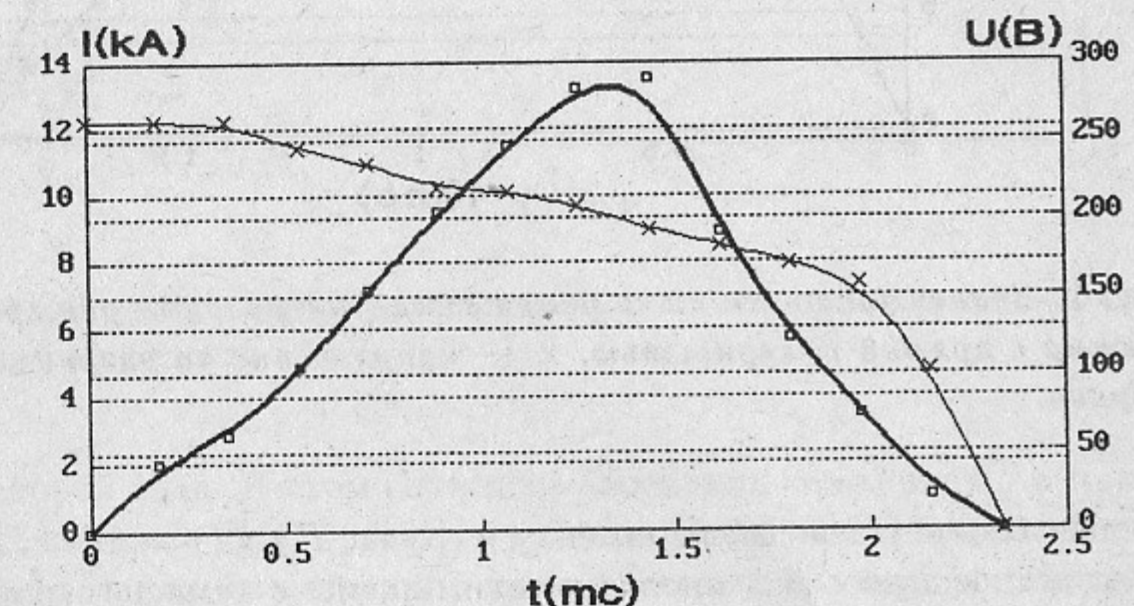


Рис. 3: Зависимость тока и напряжения на разряде от времени для режима с обратной полярностью: \times — напряжение на разряде, \square — ток разряда.

Очевидным указанием на новый механизм динамики плазмы в струе является изменение характера поведения напряжения на источнике и протекающего через него тока в процессе развития разряда. Осциллограммы тока и напряжения для разрядов с обратной и прямой полярностью напряжения на электродах представлены на рис.3, 4.

Измерение падения напряжения на разряде проводилось с помощью компенсированного емкостного делителя, а регистрация тока осуществлялась по падению напряжения на малом ($1,7 \cdot 10^{-3} \Omega$) безиндуктивном сопротивлении, включенном последовательно в разрядную цепь источника. Видно, что при обратной полярности "внутреннее" сопротивление источника R_{arc} в процессе разряда монотонно падает, что естественно связать с регистрируемым ростом температуры электронов (рис.5) и, соответственно, проводимости плазмы. При численном моделировании процессов в нелинейной системе (LC линия + $R_{arc}(I)$) выявлено

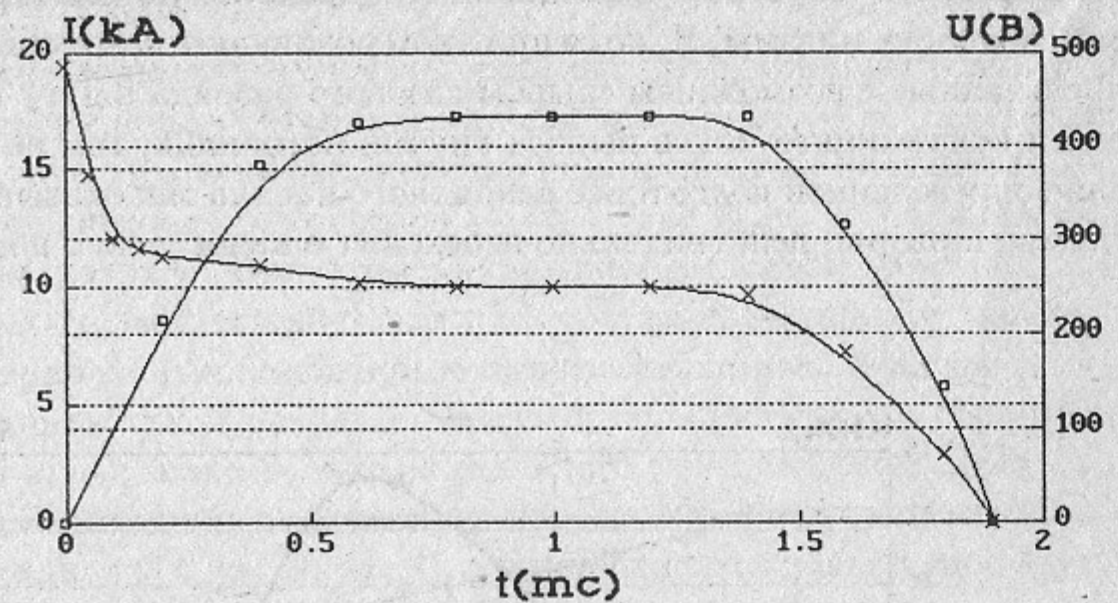


Рис. 4: Зависимость тока и напряжения на разряде от времени для режима с прямой полярностью: \times — напряжение на разряде, \square — ток разряда.

хорошее соответствие эксперименту в случае $R_{arc}(I) = AI^{-\frac{3}{2}}$. Предполагая классическую связь проводимости плазмы с температурой электронов, получаем $T_e \propto I$, что также соответствует эксперименту.

Температура электронов

Температура электронов измерялась локально с помощью тройных ленгмюровских зондов, и интегрально по сечению рентгеновским фотоэлектронным спектрометром (ФЭС). Типичные зависимости $T_e(t)$ в режиме с обратной полярностью напряжения, полученные с тройного зонда, представлены на рис. 5. Характерно, что температура электронов, как и ток разряда, в этом режиме непрерывно растет в течение всей длительности импульса напряжения и достигает $30 \div 50$ эВ против 10 эВ в обычном режиме.

Поскольку поперечное сечение плазменного столба имеет вид кольца с шириной $\delta R \sim 1$ см, сравнимой с характерными размерами конструкции тройного зонда, то можно предположить, что зонд оказывает сильное возмущающее воздействие на плазму, приводящее к систематическому занижению T_e в случае $T_e \gg eI$, где I — потенциал ионизации. Для экспериментальной оценки степени влияния зонда на температуру электронов в том же сечении плазменной струи, но на другом азимуте,

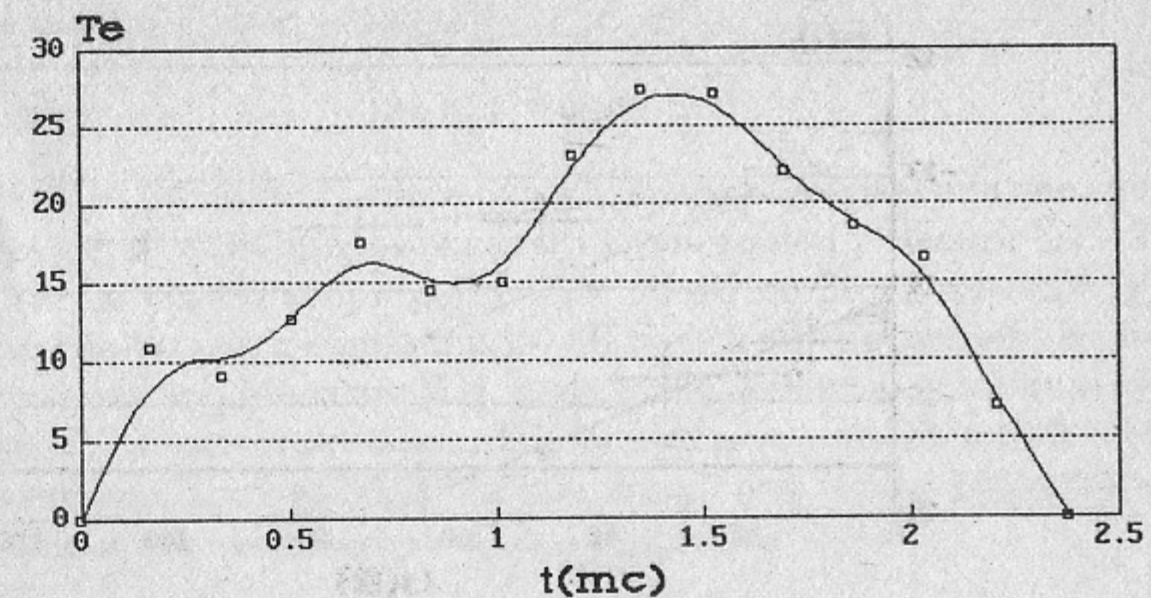


Рис. 5: Зависимость температуры электронов от времени в высокотемпературном режиме.

помещался второй зонд. В этом случае наблюдалось снижение T_e в максимуме распределения $T_e(t)$ (рис. 5) в среднем до 20 эВ. Очевидно, что такая оценка даёт нижнюю границу возмущающего влияния зонда, так как, во-первых, локализованное по азимуту возмущение может быть существенно большим, и во-вторых, само возмущающее влияние второго зонда оказывается меньше, чем первого, в силу уже состоявшегося снижения T_e .

Фотоэлектронный спектрометр [10] даёт спектр мощности γ -квантов, вылетающих из плазмы, соответствующий в наших условиях некоторому набору эффективных температур электронов, взвешенных по сечению плазменной струи. По этой причине абсолютная калибровка ФЭС была затруднена. Однако относительное сравнение полученных спектров мощности γ -квантов в режимах с прямой и обратной полярностью напряжения на разряде показывает, что характерная температура электронов в максимуме распределения $T_e(t)$ в последнем случае увеличивается более чем в 5 раз (рис. 6). В режиме работы с прямой полярностью напряжения на электродах источника плазмы температура электронов была надёжно измерена различными методиками и имеет значение около 10 эВ [3]. Таким образом, результаты относительных измерений ФЭС можно считать указанием на то, что в случае обратной полярности температура электронов невозмущённой зондами плазмы достигает 50 эВ. Это неплохо согласуется с результатами зондовых измерений T_e с учётом вышепри-

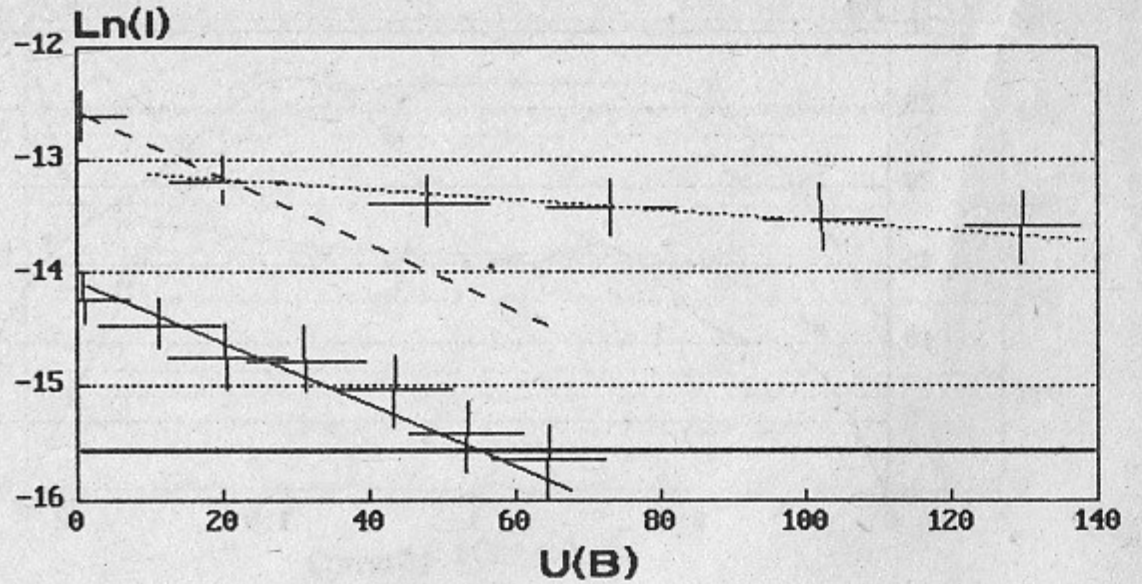


Рис. 6: Спектр мощности γ — квантов, вылетающих из плазмы, построенный в полулогарифмическом масштабе. Вверху — в режиме с обратной полярностью напряжения на электродах, внизу — в режиме с прямой полярностью. Сплошной горизонтальной линией указан уровень шумов прибора.

веденной экспериментальной оценки их возмущающего влияния.

Температура ионов

Увеличение T_e ожидаемым образом повлияло на температуру ионов. Равновесное значение T_i в зоне энерговыделения определяется балансом мощности, получаемой ионами от неустойчивости Кельвина–Гельмгольца, и мощности, уходящей как вследствие столкновений с более холодными электронами, так и вследствие теплопроводности непосредственно ионного компонента из зоны энерговыделения за её пределы. В стационаре поперечные распределения $T_i(r)$ и $n(r)$ в плазменной струе характеризуются сравнительно низкими градиентами, так что даже при аномально высоких коэффициентах поперечного переноса, обусловленных турбулентностью на неустойчивости Кельвина–Гельмгольца, потери энергии ионного компонента ($\approx 50 \text{ Вт}/\text{см}^3$) из единицы объёма плазмы определяются в основном электронным каналом. Тогда из классической формулы для скорости обмена тепловой энергией между ионами и электронами

$$Q_{ie} = 3 \frac{m_e}{m_i} \frac{n}{\tau_e} (T_i - T_e) \propto \frac{T_i - T_e}{T_e^{3/2}}$$

и условия её равенства плотности мощности накачки в ионы на неустойчивости Кельвина–Гельмгольца Q_{KH-i} , т. е.

$$Q_{KH-i} = Q_{ie}$$

получаем, что увеличение T_e примерно в 3 раза при сохранении прежнего значения Q_{KH-i} должно сопровождаться увеличением разности $(T_i - T_e)$ до 5 раз. Таким образом, при росте T_e с 10 эВ до 30 эВ температура ионов T_i должна вырасти с прежних 50 эВ до 230 эВ. Проведенные измерения T_i тройным макрозондом [11], безусловно возмущающим плазму и снижающим T_e , а, следовательно, и T_i , тем не менее подтверждают эту оценку. Величина T_i , от выстрела к выстрелу, составляла 160 \div 200 эВ (рис. 7), а временная зависимость была аналогична $T_e(t)$.

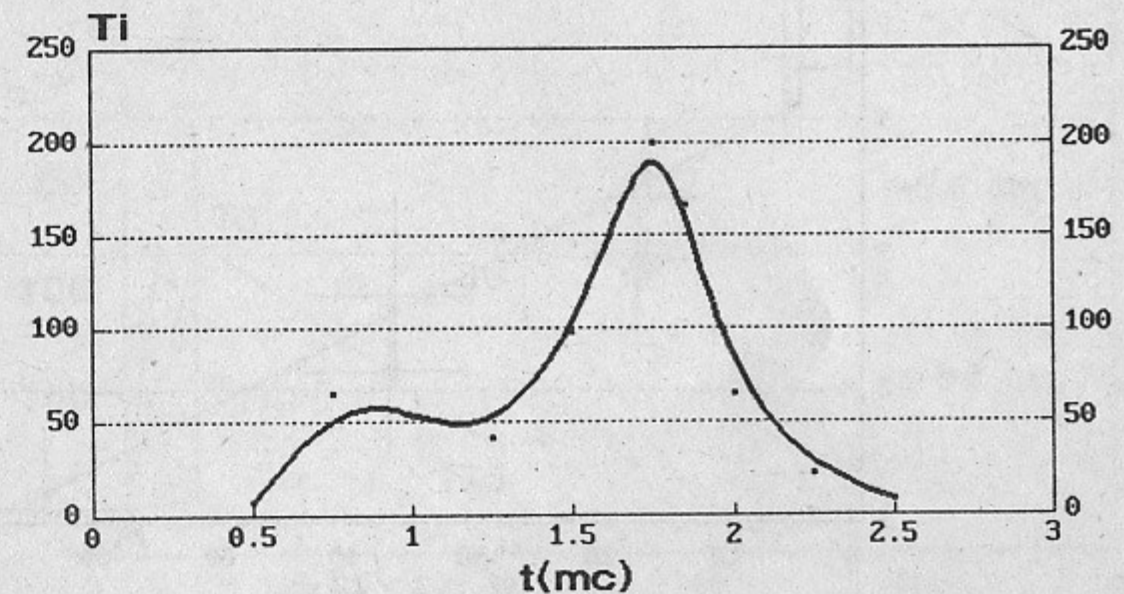


Рис. 7: Типичная зависимость температуры ионов от времени в режиме с обратной полярностью напряжения на электродах.

Для невозмущающей плазмы контроля температуры ионов T_i в высокотемпературном режиме использовались измерения величины доплеровского уширения линии H_α в спектре излучения атомов перезарядки. При максвелловском виде функции распределения излучающих атомов по скоростям указанная спектральная линия имеет гауссову форму с шириной:

$$(2\Delta\lambda)^2 [\text{\AA}] \approx 0.5\sqrt{T_i}.$$

Из результатов измерений (рис. 8) можно установить, что величина доплеровского уширения равна 4.5 \AA , что соответствует температуре

ионов $T_i \approx 220$ эВ. Точность измерений составила ± 30 эВ. Как видно, полученное значение T_i хорошо согласуется как с приведенной выше на основе энергобаланса плазмы оценкой температуры ионов, так и с результатами зондовых измерений (с учётом вносимых ими возмущений).

Проведенные измерения энергосодержания плазмы с помощью диамагнитной петли также качественно подтверждают полученную в эксперименте зависимость $\langle T_e(t) + T_i(t) \rangle$, где угловыми скобками обозначено усреднение по сечению плазменной струи.

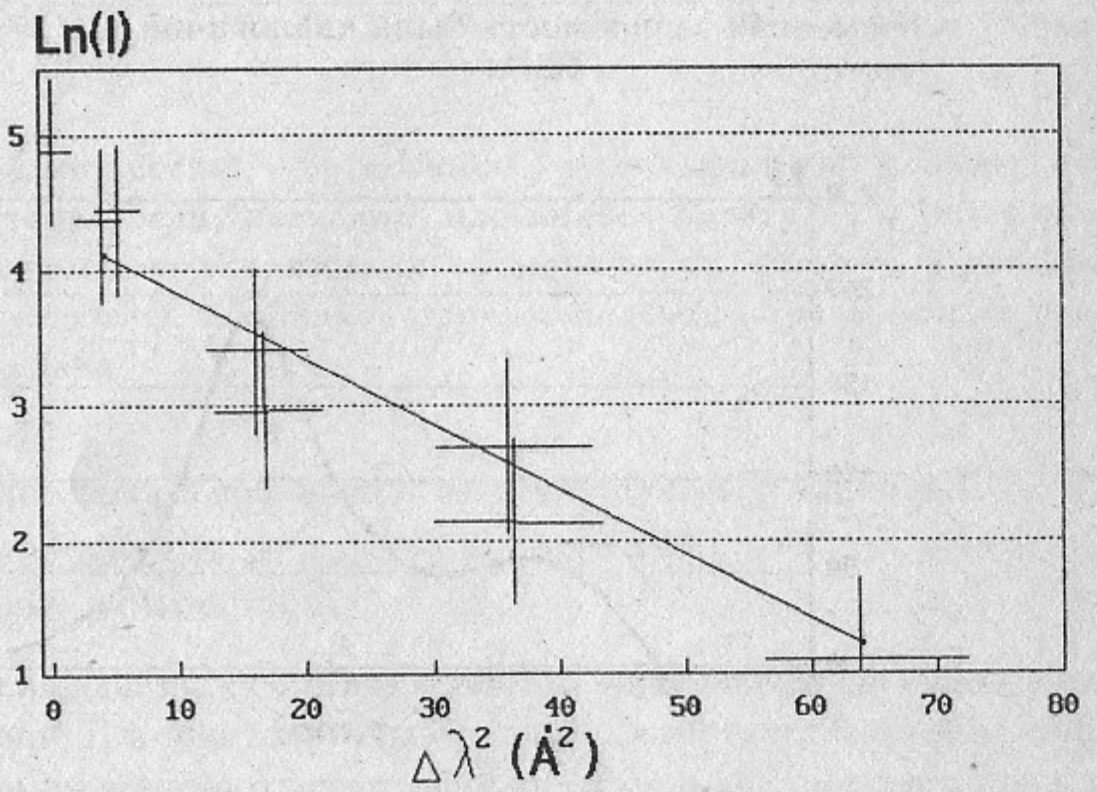


Рис. 8: Зависимость логарифма интенсивности излучения плазмы от квадрата отклонения длины волны от H_α : $\Delta\lambda = (\lambda - 6563\text{\AA})$.

Термобарьер

Результаты измерений потенциала электродов на выходе из источника относительно корпуса установки (источник как целое относительно корпуса в данных экспериментах находился под "плавающим" потенциалом) и продольного распределения потенциала плазмы вдоль крайних силовых линий магнитного поля, выходящих из газоразрядного канала источника

плазмы, представлены на рис.9. Здесь $r = 6,5$ см соответствует внешнему радиусу кольцевого газоразрядного канала, определяемому внутренним диаметром "катода" b (рис.1), а $6r = 5,5$ см соответствует внутреннему радиусу кольцевого газоразрядного канала, определяемому внешним диаметром плавающего электрода 10 (рис.1), потенциал которого оказывается положительно смещён примерно на $\frac{1}{2}U_{arc}$ относительно потенциала "катода". Как видно, измеренное аксиальное распределение потенциала в плазменной струе подтверждает факт образования при обратной полярности электродов вблизи выхода из источника потенциального барьера для электронов, сравнимого по величине с T_e/e .

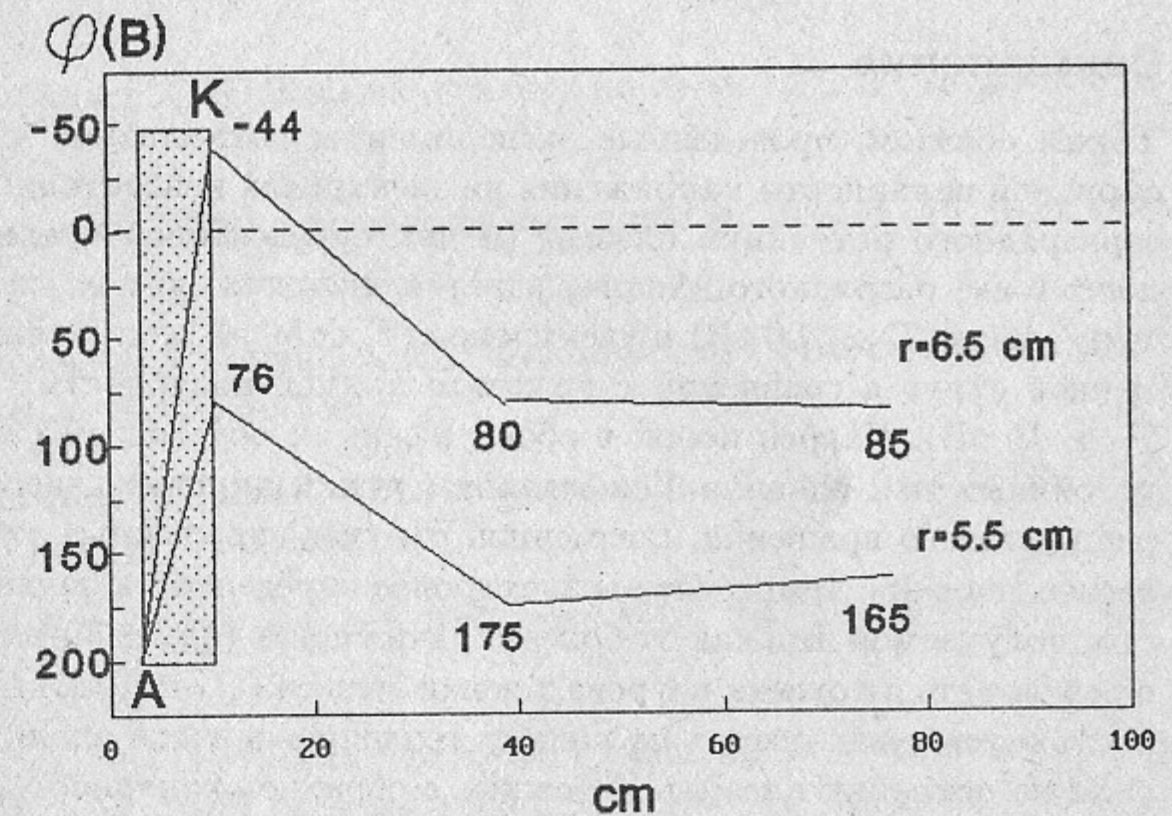


Рис. 9: Измеренный продольный профиль потенциала плазмы на разных радиусах сечения струи в режиме с обратной полярностью.

Вместе с приведенными выше экспериментальными фактами значительного увеличения T_e и T_i в сравнении с прямой полярностью напряжения на источнике это свидетельствует о том, что на выходе из газоразрядного источника в этом случае действительно реализуется термобарьер, уменьшающий продольную электронную теплопроводность плазмы. Величина этого барьера ($e\delta\phi$) $\approx (2 \div 3) T_e$, т. е. фактически определяется амбиополярным потенциалом квазинейтрального плазменного столба относительно "плавающего" источника плазмы. Поток тепла через указан-

ный барьер по электронному каналу из плазменной струи в источник можно оценить с точностью до некоторого численного множителя A как

$$Q_e \sim A \cdot n \cdot T_e \cdot v_{T_e} \cdot S \cdot \exp(-e\delta\phi/T_e) \propto T_e^{3/2} \cdot \exp(-e\delta\phi/T_e).$$

В предположении, что другие каналы потерь тепла из струи в присутствии термобарьера изменяются несущественным образом, для сохранения энергобаланса необходимо обеспечить по электронному каналу тот же самый поток тепла. Следовательно, как оценка по максимуму, температура электронов в плазменной струе должна вырасти в $\exp[(2e\delta\phi)/(3T_e)] \approx 4 \div 7$ раз, что неплохо согласуется с экспериментом.

Заключение

Таким образом, проведенные эксперименты показывают, что в случае обратной полярности напряжения на электродах квазистационарного газоразрядного источника плазмы (и при определённой предварительной подготовке разрядного канала) удается значительно повысить температуру ионов ($T_i \approx 200$ эВ) и электронов ($T_e \approx 50$ эВ) в протяжённой плазменной струе в сравнении с режимом прямой полярности ($T_i \approx 50$ эВ, $T_e \approx 10$ эВ). Нагрев ионов в обоих режимах обусловлен развитием неустойчивости Кельвина–Гельмгольца, утилизирующей энергию дифференциального вращения плазменной струи в скрещенных полях. Равновесное значение температуры электронов определяется балансом мощности, получаемой ими как от более горячих ионов ($Q_{ie} \approx 50$ Вт/см³), так и в результате джоулева нагрева токами выноса ($Q_J \approx 10$ Вт/см³), и мощностью тепловых потерь по каналу теплопроводности вдоль магнитного поля на источник плазмы. В режиме с обратной полярностью на выходе из источника реализуется потенциальный барьер для электронов, термоизолирующий электроны плазменной струи от источника, что и обеспечивает соответствующее повышение T_e . Рост температуры электронов в плазменной струе приводит к уменьшению "внутреннего" сопротивления источника, поскольку заметная часть тока разряда (токи выноса) замыкается через плазменную струю. Уменьшение "внутреннего" сопротивления, в свою очередь, сопровождается увеличением тока разряда и, соответственно, токов выноса. При увеличении последних возрастает роль джоулева нагрева и, как следствие, растёт температура электронов и величина потенциального барьера. Далее весь этот процесс повторяется вновь.

Важно отметить, что в наших экспериментах с режимом обратной полярности непрерывный рост $I(t)$, $\delta\phi(t)$, $T_e(t)$ и $T_i(t)$ наблюдается в

течение всей длительности импульса напряжения, определяемой задействованной LC -линией. Это указывает на реальные возможности дальнейшего повышения этих параметров при увеличении длительности разряда.

Список литературы

- [1] Г.И.Димов, А.А.Иванов, Г.В.Росляков. Физика плазмы. 1982. Т. 8. Вып. 8. С. 970-978.
- [2] А.А.Кабанцев, С.Ю.Таскаев. Физика плазмы. 1990. Т. 16. Вып. 6. С. 700-709.
- [3] А.А.Кабанцев, С.Ю.Таскаев. Физика плазмы. 1992. Т. 18. Вып. 5. С. 635-643.
- [4] А.А.Кабанцев, С.Ю.Таскаев. Физика плазмы. 1989. Т. 15. Вып. 6. С. 724-730.
- [5] Г.И.Димов, А.А.Кабанцев, С.В.Кузьмин и др. Физика плазмы. 1993. Т. 19. Вып. 3. С. 350-358.
- [6] Е.А.Гилев, Г.И.Димов, А.А.Кабанцев и др. Письма в ЖЭТФ. 1993. Т. 57. Вып. 10. С. 621-624.
- [7] Г.И.Димов, Е.А.Гилев, А.А.Кабанцев и др. ДАН. 1993. Т. 332, № 2. С. 155-158.
- [8] А.А.Кабанцев. Труды Всесоюзного совещания по открытым ловушкам, Москва, 19-21 октября 1989 г. С. 40-50. // Препринт ИЯФ СО РАН № 89-164.
- [9] Ю.П.Райзер. Физика газового разряда. М., Наука, 1992. Гл. 5.
- [10] В.С.Белкин, В.Г.Соколов, И.Я.Тимошин. Физика плазмы. 1994. Т. 20. Вып. 1. С. 93-94.
- [11] А.А.Кабанцев. Материалы VIII Всесоюзной конференции по физике низкотемпературной плазмы, Минск, 1991. Ч. II. С. 198-199. // Препринт ИЯФ СО РАН № 90-80.

А.А. Кабанцев, В.Б. Рева, В.Г. Соколов

**Получение горячей плазмы
в квазистационарном дуговом разряде**

ИЯФ 95-1

Ответственный за выпуск С.Г. Попов
Работа поступила 9 января 1995 г.

Сдано в набор 12 января 1995 г.

Подписано в печать 18 января 1995 г.

Формат бумаги 60×90 1/16 Объем 0.9 печ.л., 0.8 уч.-изд.л.

Тираж 200 экз. Бесплатно. Заказ № 1

Обработано на IBM PC и отпечатано на
ротапринте ГНЦ ИЯФ им. Г.И. Будкера СО РАН,
Новосибирск, 630090, пр. академика Лаврентьева, 11.